

التطبيقات Applications

1:6 مقدمة

تغطي تطبيقات مطيافية رامان الوصفية والكمية مساحة واسعة من المجالات فى العلوم الفيزيائية، الكيميائية، الجيولوجية، البيولوجية، الطبية والبيئية، حيث تستخدم مطيافية رامان فى التعرف على المجموعات الجزيئية الكيميائية، كل مجموعة صغيرة جدا من الذرات داخل الجزيء لها ترددات خاصة بها، تعرف بترددات المجموعة، تميزها عن غيرها من المجموعات الأخرى بغض النظر عن موقعها فى الجزيء. وتستخدم أيضا مطيافية رامان، عادة بالاشتراك مع مطيافية تحت الحمراء، لتعيين تماثل المجموعات الكيميائية التي تظهر تشتت رامان وكذلك تصنيف الأعداد الموجية للأنماط التذبذبية التابعة لها. ويساعد تصنيف الذبذبات فى الحصول على معلومات كمية عن القوى بين أو فى الجزيئات *Intermolecular & Intramolecular Forces* وحساب خصائص الديناميكا الحرارية. ويعتمد عدد كبير من التطبيقات على استخدام شدة ذبذبات رامان لقياس تركيز المجموعات التي تشتت رامان. وتوجد تطبيقات أخرى تستخدم التغير فى العدد الموجي، والشدة ولامح شريط رامان فى دراسة تأثير الحرارة والضغط على المجموعات الجزيئية.

مطيافية رامان أداة فاعلة فى دراسة تذبذبات وتحركات الذرات

فى البلورات.

تعطى مطيافية رامان معلومات أكثر من مطيافية IR بالنسبة للمجموعات $-C \equiv C-$, $-N=N-$, $>C=C<$. وإذا كان وضع هذه المجموعات في أي جزيء متماثلاً، فسوف تكون شدة ذبذباتها من نوع رامان نشطة وليست من نوع تحت الحمراء نشطة.

تظهر أطياف رامان ترددات الذبذبات الجزيئية التي توجد نتيجة الفرق بين تردد الضوء الساقط والضوء المشتت. تتناسب شدة امتصاص شريط تحت الحمراء مع مربع مشتقة عزم ثنائي القطب بالنسبة للمسافة بين الذرات (مربع معدل تغير عزم ثنائي القطب مع المسافة بين الذرات)، بينما تتناسب شدة خطوط رامان مع مربع مشتقة الاستقطابية الجزيئية بالنسبة للمسافة بين النوى أي أن :

$$I_R \approx [d\alpha/dq]^2_{q=q_0}$$

ويظهر للجزيء طيف رامان عندما ينتج عن التفاعل بينه وبين الضوء الساقط عليه تغيراً في الاستقطابية. ويستنتج من ذلك أن الجزيئات ثنائية الذرة المتجانسة $[H_2, O_2, N_2]$ التي لا يظهر لها طيف تحت الحمراء تكون رامان نشطة إذ أن $d\alpha/dq \neq 0$. ويختلف طيف IR عن طيف رامان لأن تغير مشتقة الاستقطابية يختلف عن تغير مشتقة ثنائي القطب. وبصرف النظر عن التردد والشدة فإن أهم خصائص أطياف رامان هي نسب منع الاستقطاب لخطوط رامان.

ونسب منع الاستقطاب p تتغير في المدى $0 \leq p \leq 1$ ونسبة منع الاستقطاب تتأثر بعدة عوامل مثل: انفرج الضوء الساقط وأيضاً تأثير استقطاب العناصر البصرية للمطياف... إلخ. ونسبة منع الاستقطاب تعكس خاصية توزيع كثافة الإلكترون، وتأثير تبادل الرابطة الزوجية Conjugation Effect في الجزيئات العضوية.

وتعطى مقارنة أطياف IR و رامان معلومات عن تماثل الجزيئات. فمثلا فى الإيثيلين Ethylene، نذببات المد للرابطة الزوجية متماثلة لذا لا يظهر لهذه الذبذبة أى امتصاص فى طيف IR ، وفى نفس الوقت تظهر هذه الذبذبة فى طيف رامان وهذا يعنى أن التركيب الجزيئى متماثل. يظهر فى طيف رامان خط قوى تابع لذبذبة المد للرابطة الزوجية فى Tetrachloro ethylene رابع كلوريد الإيثيلين ($\nu C = C 1570\text{cm}^{-1}$) ولا يظهر فى طيف IR ، وتظهر لذبذبة الرابطة الزوجية الأقل تماثلا فى السيكلوهيكسين Cyclohexene ($\nu C = C 1658\text{cm}^{-1}$) شريط ضعيف فى طيف IR وخط قوى إلى حدما فى طيف رامان. ترددات رامان وتحت الحمراء لنفس الذبذبة [$\nu C = C$ ، νNO_2] لا تكون بالضرورة متشابهة Identical بسبب الخواص النوعية للطريقتين.

وتكون الذبذبات المتماثلة مثل: ذبذبة المد الأسيتيلينية C - C ، وذبذبة المد S-S- عادة قوية فى طيف رامان ولا تظهر فى طيف تحت الحمراء، والذبذبات غير المتماثلة مثل: C - H ، C = O فى الأدهايدات تظهر قوية فى طيف تحت الحمراء وضعيفة فى طيف رامان.

ويستخدم تأثير رامان الرنين Resonance Raman Effect لتقوية ذبذبات مجموعة كروموفور معينة فى الجزيء، وهذه خاصية خاصة تتميز بها مطيافية رامان وخصوصا فى دراسة الجزيئات البيولوجية الكبيرة (تقوية فى حدود 10^2 - 10^6). وتعتبر مطيافية رامان المقواة بالسطح (SERS) Surface - Enhanced Raman Spectroscopy من أحدث وأهم خصائص هذه المطيافية.

2:6 ترددات المجموعة Group Frequencies

ترددات ذبذبات المد الهيدروجينية X-H Stretching Vibrations

جميع الترددات التي تظهر فى المنطقة $2550-3700\text{cm}^{-1}$ تصنف للرابطة بين ذرة الهيدروجين وأي ذرة أخرى مثل: S,C,N,O. وبالرغم من أن هذه الرابطة أحادية إلا أن الذبذبات المصاحبة لها تظهر عند أعلى الترددات فى طيف المنطقة الوسطى. ويعتمد تردد ذبذبة المد على تعدد الروابط بين الذرات، فكلما زاد عدد الروابط زاد ثابت القوة، وزاد تبعاً لذلك تردد الذبذبة. ولكن تلاحظ أشرطة ذبذبات المد الهيدروجينية عند أعداد موجية أعلى من تلك التابعة لترددات ذبذبات المد للروابط الثلاثية والثنائية، والسبب فى ذلك هو أن ذرة الهيدروجين هي أخف الذرات؛ لذا فهي تتذبذب بأقصى قوة، علاوة على أنها أحادية التكافؤ.

وطبقاً لقوانين الانتقال تظهر أشرطة المد O-H المترابطة فى طيف تحت الحمراء قوية وعريضة بينما تظهر خطوط رامان لهذه المجموعة ضعيفة فى نفس المنطقة من الأعداد الموجية. وينطبق ذلك أيضاً على مجموعة N-H المترابطة. أي تظهر الأشرطة تحت الحمراء لها قوية (فى المنطقة من $3500-3300\text{cm}^{-1}$) وتظهر خطوط رامان متوسطة أو ضعيفة الشدة.

وتظهر خطوط رامان لمجموعة CH قوية فى المنطقة $3300-2700\text{cm}^{-1}$. ويظهر للمجاميع CH_3, CH_2 خيطان أو ثلاثة خطوط فى المنطقة $2970-2850\text{cm}^{-1}$. ولكل من هاتين المجموعتين ترددات مد تماثلية ولا تماثلية. وتوجد خطوط رامان لمجموعة $\text{C-H} =$ غير المشبعة، أي التي تكون فيها ذرة الهيدروجين متصلة بذرة كربون فى حلقة عطرية أو أليفين Aromatic or Olefin أو أسيتيلين Acetylene فى المنطقة $3300-3000\text{cm}^{-1}$.

ويظهر خط رaman للمجموعة S - H في المنطقة من $2590-2560\text{cm}^{-1}$ وتكون شدة هذا الخط قوية في طيف رaman بينما يظهر شريط تحت الحمراء ضعيفا.

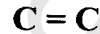
ذبذبات المد للرابطة الثلاثية Triple Bond Stretching Vibration

تنشأ أعلى الترددات عن تذبذب المجموعات ذات الرابطة الثلاثية حيث إن: كلما زاد عدد الروابط بين ذرات المجموعة المهتزة زاد ثابت القوة، وزاد تبعا لذلك تردد ذبذبة المجموعة؛ لذا نتوقع أن تظهر خطوط ذبذبات المد $C\equiv X$ في المنطقة $2260-2100\text{cm}^{-1}$. والتغير في استقطابية هذه المجموعات يكون كبيرا؛ لذا تظهر هذه الخطوط قوية في طيف رaman. وتظهر خطوط $C\equiv N$ في المنطقة $2250-2230\text{cm}^{-1}$ وتكون شدة خطوط هذه المجموعة أقوى من شدة أشطرة امتصاصها في طيف تحت الحمراء. وتظهر خطوط المجموعة $C=C$ في المدى $2250-2100\text{cm}^{-1}$ ، وبالرغم من أن خطوط هذه المجموعة تظهر قوية في طيف رaman إلا أن أشطرة امتصاصها لا تظهر في طيف تحت الحمراء.

ترددات ذبذبات المد للروابط الزوجية

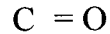
Double Bond Vibrational Stretching Frequencies

توجد ترددات ذبذبات المد للمجموعات ذات الروابط الزوجية في المدى $2000-1600\text{cm}^{-1}$.



تظهر خطوط هذه المجموعة قوية أو متوسطة الشدة في طيف رaman ولكن أشطرة امتصاصها تكون دائما ضعيفة ولا تظهر في بعض الحالات في طيف تحت الحمراء. وتظهر خطوط هذه المجموعة في المنطقة $1700-1575\text{cm}^{-1}$ ، فمثلا تظهر خطوط الألكينات $C = C$ (Alkene) في المدى $1675-1600\text{cm}^{-1}$ وتكون قوية

أو متوسطة الشدة؛ بينما تظهر خطوط C=C العطرية في المدى $1620-1580\text{cm}^{-1}$ وأيضا تكون شدة الخطوط قوية إلى متوسطة وبسبب الخواص التماثلية أو عزم ثنائي القطب يلاحظ اختفاء أشرطة امتصاص هذه المجموعة أو ظهور أشرطة ضعيفة في طيف تحت الحمراء. وجدول (13) يوضح بعض الأمثلة لترددات C=C في طيف رامان.



تظهر خطوط رامان لمجموعة C=O عند الترددات $1870-1630\text{cm}^{-1}$ ، وتكون شدة هذه الخطوط ضعيفة أو متوسطة؛ علما بأن أشرطة امتصاص هذه المجموعة تظهر قوية في طيف تحت الحمراء، ويرجع ذلك لقاعدة الانتقاء. وترددات ذبذبات مجموعة C=O تتأثر بنوع المجموعات الذرية المتصلة بذرة الكربون. وعلى ذلك يمكن تمييز ترددات ذبذبات الإستر Esters والكيتون، و الأدهيد.... إلخ، فمثلا تظهر خطوط أستر في المدى $1755-1715\text{cm}^{-1}$ وخطوط الكيتون في المدى $1725-1700\text{cm}^{-1}$ بينما تظهر خطوط الأدهايد في المدى $1740-1790\text{cm}^{-1}$ والأמיד $1686-1630\text{cm}^{-1}$. والجدول (16) المرفق يوضح ترددات ذبذبات هذه المجموعة.



تظهر خطوط هذه المجموعة قوية في طيف رامان بينما تظهر أشرطة امتصاصها في طيف تحت الحمراء متوسطة الشدة. وتوجد الترددات في المدى $1680-1610\text{cm}^{-1}$. والجدول (17) يبين ترددات هذه المجموعة في المركبات المختلفة.

N=N

تظهر خطوط متوسطة الشدة فى طيف رامان للمجموعة $\nu(N=N)$ ولا يظهر لهذه المجموعة أي امتصاص فى طيف تحت الحمراء، وفى حالة الإحلال الأليفاتى Aliphatic Substitution تظهر الخطوط عند الترددات فى المدى $1580-1550\text{cm}^{-1}$ أما فى حالة الإحلال الأروماتى تظهر الخطوط فى مدى الترددات $1440-1410\text{cm}^{-1}$.

N=O

توجد خطوط المد الأتماثلية $\nu_a[(C-)NO_2]$ فى مدى الترددات $1590-1530\text{cm}^{-1}$ وتكون خطوط رامان متوسطة الشدة؛ بينما تكون أشرطة تحت الحمراء قوية. وتظهر خطوط $\nu_s[(C-)NO_2]$ فى مدى الترددات من $1380-1340\text{cm}^{-1}$ وتظهر الخطوط قوية جدا فى طيف رامان وتظهر أشرطة تحت الحمراء متوسطة الشدة. الجدول (17) يبين ترددات NO_2 فى بعض المركبات.

ترددات ذبذبات الرابطة الأحادية

Single Bond Vibrational Frequencies

1 - ترددات ذبذبة المد

C - O

تظهر خطوط ترددات ذبذبات المد $\nu_a(C-O-C)$ اللاتماثلية فى المدى من $1150-1060\text{cm}^{-1}$ وتكون ضعيفة فى طيف رامان وقوية فى طيف تحت الحمراء، بينما تظهر ترددات ذبذبات المد التماثلية $\nu_s(C-O-C)$ فى المدى من $970-800\text{cm}^{-1}$ ، وتكون خطوط رامان قوية أو متوسطة الشدة وتكون أشرطة تحت الحمراء ضعيفة أو فى بعض الحالات لا تظهر.

C-C

تظهر ترددات ذبذبات المد C-C فى المنطقة من $1100-1040\text{cm}^{-1}$ ويظهر لها خطوط قوية فى طيف رامان ولا يظهر لها امتصاص فى طيف تحت الحمراء.

2 - ترددات ذبذبة الانحناء للروابط الأحادية

N-H

يقع تردد الانحناء $\delta(\text{NH}_2)$ فى المدى $1650-1490\text{cm}^{-1}$ ويكون شريط خط رامان ضعيفاً بينما يكون شريط تحت الحمراء متوسط الشدة.

C-H

تقع خطوط $\delta_s(\text{CH}_2)$ ، $\delta_a(\text{CH}_3)$ فى المنطقة $1470-1400\text{cm}^{-1}$ وشدة هذه الخطوط تكون متوسطة فى طيف رامان وأيضاً طيف تحت الحمراء، ويظهر خط $\delta_s(\text{CH}_3)$ عند 1380cm^{-1} ، وشدة هذا الخط فى طيف رامان تكون متوسطة أو ضعيفة بينما تكون شدة شريط امتصاص تحت الحمراء قوية أو متوسطة.

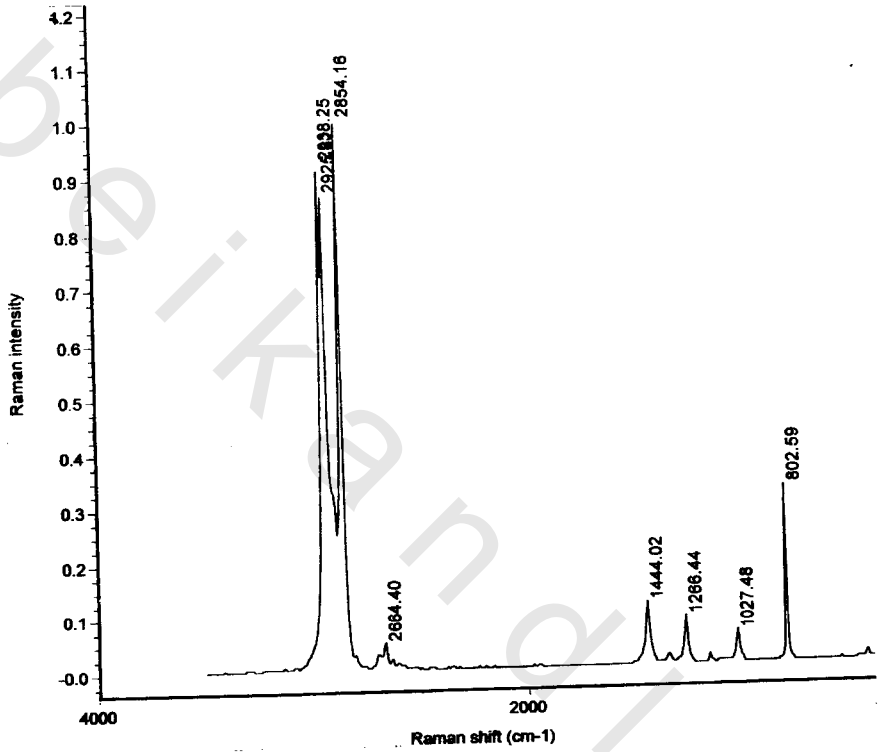
C - C

يظهر خط رامان لمجموعة $\delta_s(\text{C-C})$ ، Aliphatic (وعدد ذرات الكربون $n=3...12$) فى المدى $400-250\text{cm}^{-1}$ وتكون شدته قوية أو متوسطة، بينما تكون شدة الامتصاص فى طيف تحت الحمراء ضعيفة أو معدومة.

الجدول التالية تحتوى على الترددات المميزة للمجموعات الذرية العضوية فى أطياف رامان. كما توضح الأشكال (80-59) أطياف بعض المركبات العضوية التي تحتوى على أمثلة من هذه المجموعات. الهيدروكربونات

جدول(11): الكانات Alkanes.

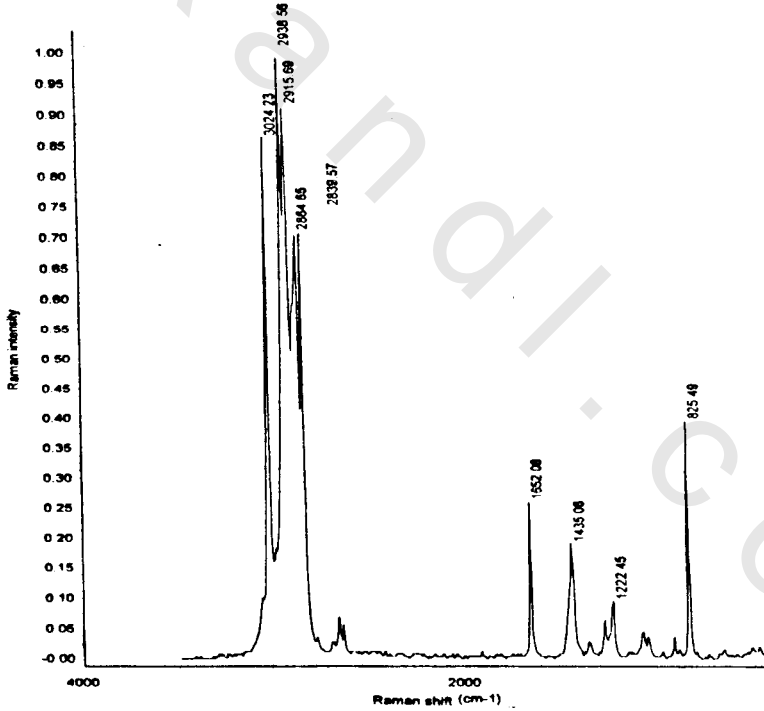
التردد cm^{-1}	التصنيف
2970-2960	تردد المد اللا تماثلي $\nu_{\text{as}}(\text{CH}_3)$
2930-2910	تردد المد اللا تماثلي $\nu_{\text{as}}(\text{CH}_2)$
2885-2880	تردد المد التماثلي $\nu_{\text{s}}(\text{CH}_3)$
2860-2850	تردد المد التماثلي $\nu_{\text{s}}(\text{CH}_2)$
1475-1446	تردد انحناء $\delta(\text{CH}_3, \text{CH}_2)$
1470-1460	تردد انحناء $\delta(\text{CH}_3)$
1385-1365	تردد انحناء $\delta_{\text{s}}(\text{CH}_3)$
1305-1295	تردد انحناء فى المستوى $\delta(\text{CH}_2)$
1310-1175	تردد انحناء $\delta(\text{CH}_2)$



شكل (59): طيف (FT-Raman) للسيكلوهكسان Cyclohexane.

جدول (12): الكينات Alkenes

التردد cm^{-1}	التصنيف
3095-3070	تردد المد اللاتماثل $=\text{CH}_2$
3026	تردد المد التماثل $=\text{CH}_2$
1675-1600	تردد المد $\text{C}=\text{C}$
1420-1410	تردد انحناء فى المستوى $\delta(\text{CH}_2)$
1000-960	تردد انحناء خارج المستوى $\delta(\text{CH})$



شكل (60): طيف (FTRaman) للسايكلوهيكسين Cyclohexene.

جدول(13): تردد ذبذبة المد $C=C$ في بعض المركبات المختلفة.

التردد	المركب
1689-1644	Monofluoalkenes
1687-1651	Alkylidend Cyclopentanes
1680-1665	Tetra alkyl etylenes
1679	Methylene Cyclobutane
1678-1664	Trialkyl ethylenes
1676-1665	Trans-Dialkylethylenes
1660-1654	Cis-Dialkyl ethylenes
1658-1644	$R_2 C=CH$
1636	Cyclohexene Cycloheptene
1649-1625	Allyl Derivatives
1648-1638	$H_2C=CH$
1647	Cyclopropene
1637	Isoprene
1623	Ethylene
1620-1540	Polyenes
1616-1571	Chloroalkenes
1614	Cyclopentenes
1596-1547	Bromoalkenes
1581-1465	Iodoalkenes
1575	1,3- Cyclohexadiene
1566	Cyclobutene
1500	Cyclopentane

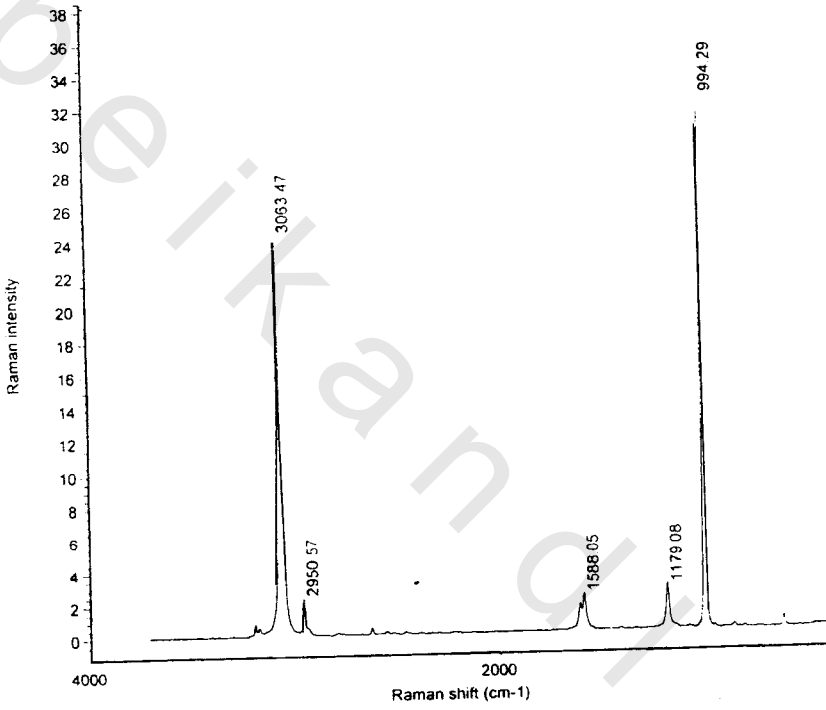
جدول (14): الكاينات Alkynes

التردد	التصنيف cm^{-1}
3300(w)	تردد المد $\equiv\text{C-H}$
2250-2100(vs)	تردد المد $\text{C} \equiv \text{C}$
2300-2190(s)	تردد المد RCCR
2140-2100(s)	تردد المد RCCH

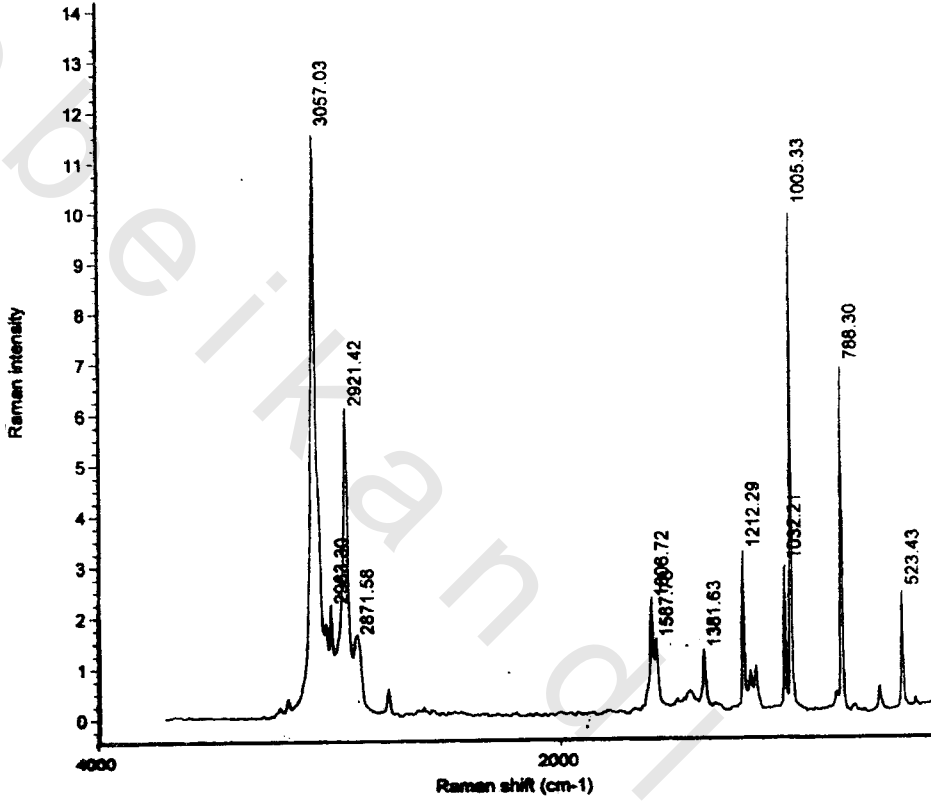
جدول (15): المركبات العطرية

Aromatic Compounds

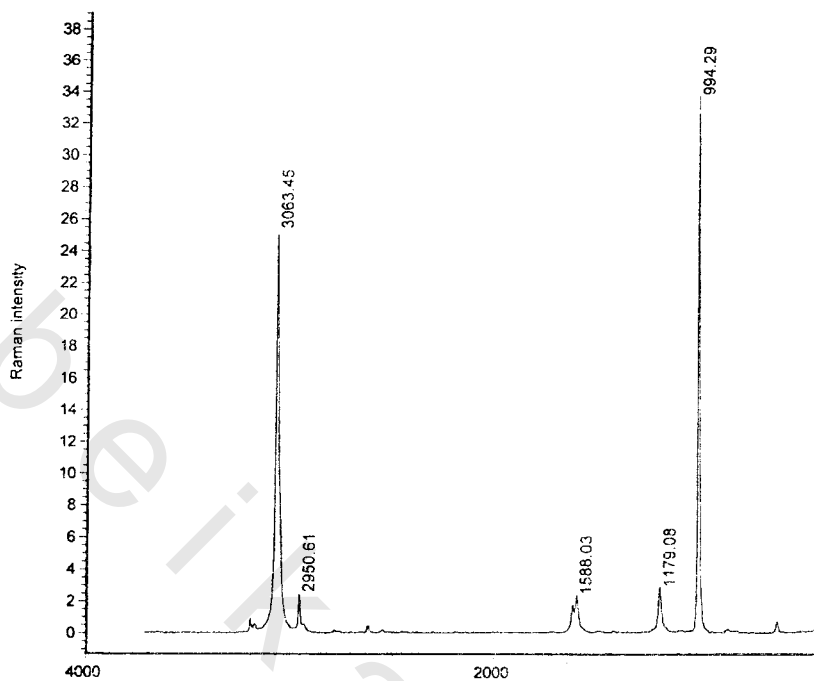
التردد cm^{-1}	التصنيف
3100-3000	التردد $\nu(\text{C-H})$
1620-1560	التردد الحلقي $\nu(\text{C=C})$
1230-1200	التردد الحلقي
1205	التردد $\text{C}_6\text{H}_5\text{-C}$
1060-1020	التردد الحلقي
1010-990	التردد الحلقي
1030-1015	تردد انحناء في المستوى $\delta(\text{CH})$



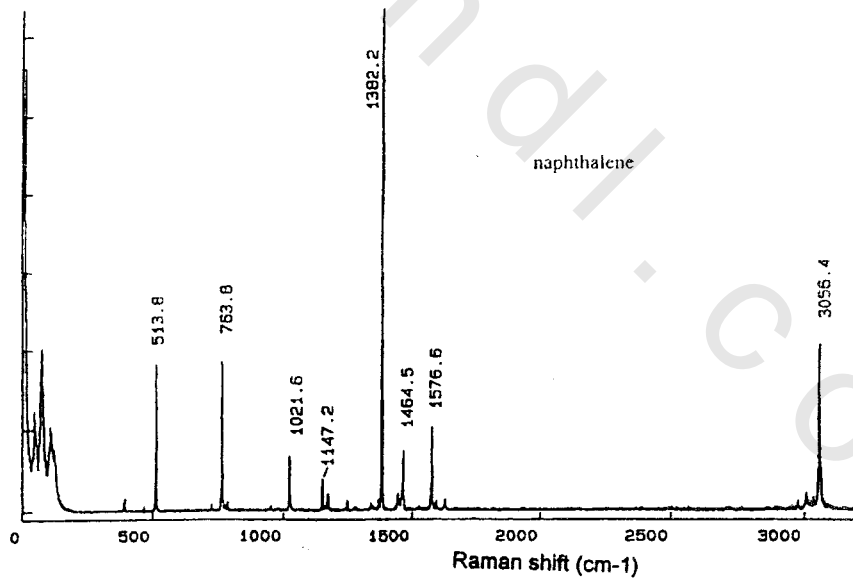
شكل (61): طيف (FT-Raman) للبنزين .Benzene



شكل (62): طيف (FTRaman) للتولوين Toluene.



شكل (63): طيف (FT-Raman) للزيلين xylene.

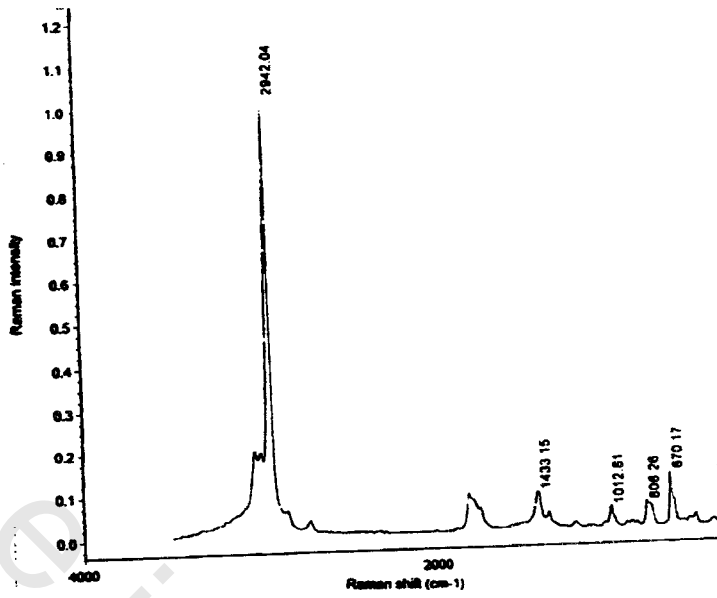


شكل (64): طيف (FT-Raman) للنفتالين Naphthalene.

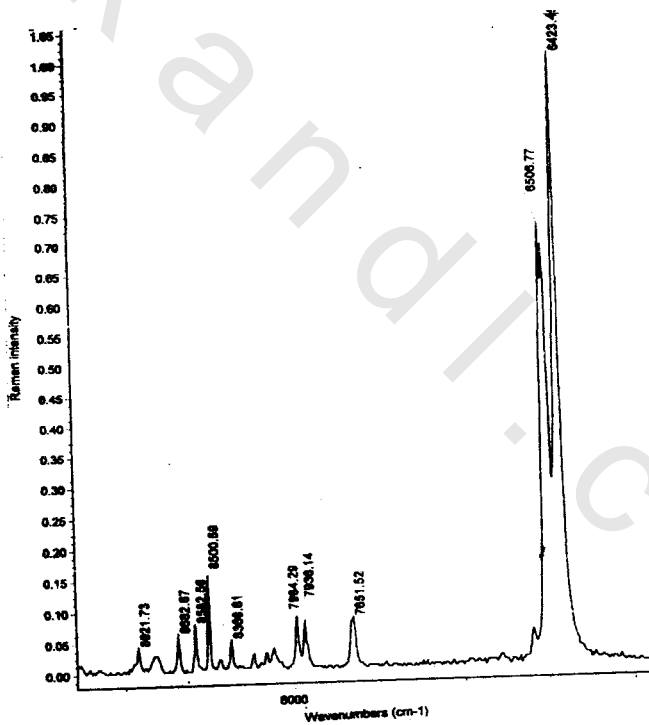
جدول (16): ترددات مركبات الكربونيل .Carbonyl Compounds

C=O

التردد cm^{-1}	المركب	التصنيف
1725-1700	اليفاتي Aliphatic	الكيتونات Ketones
1740-1720	اليفاتي	ألدهايد Aldehyde
1770-1730	هالوجيني	
1735-1715		الإستر Ester
1760	اليفاتي مشبع	حمض الكربوكسيل
1715-1696	اليفاتي غير مشبع	Carboxylic acid حمض الكربوكسيل
1700-1680	عطري	
1686-1636	أولى	الأميد Amide
1660-1650	ثانوي	
1670-1630	ثالثي	
1850-1800		أنهيدرايد Anhydride
1810-1788		حمض الهاليد Acid halide



شکل (65): طیف (FTRaman) Acetic anhydride.

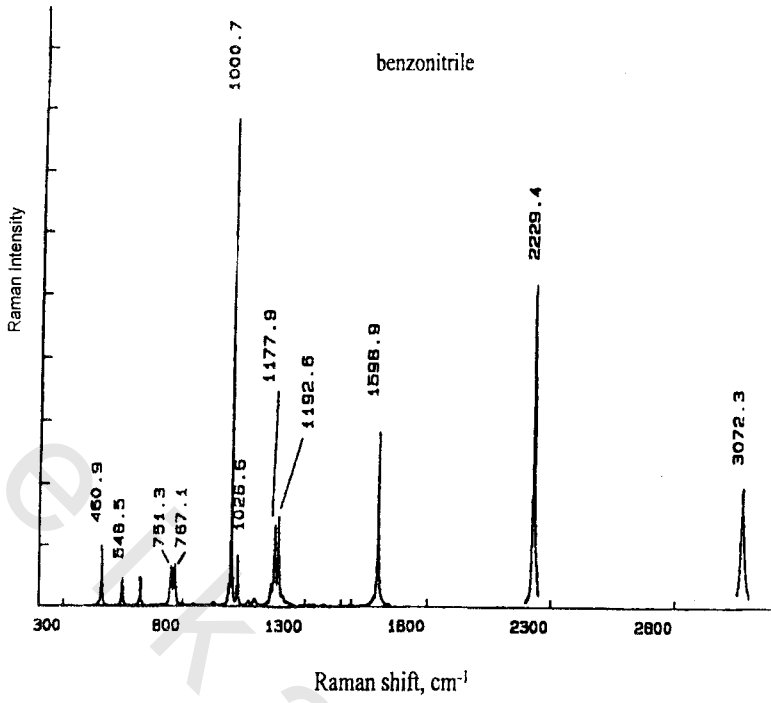


شکل (66): طیف (FTRaman) Cyclopentanone.

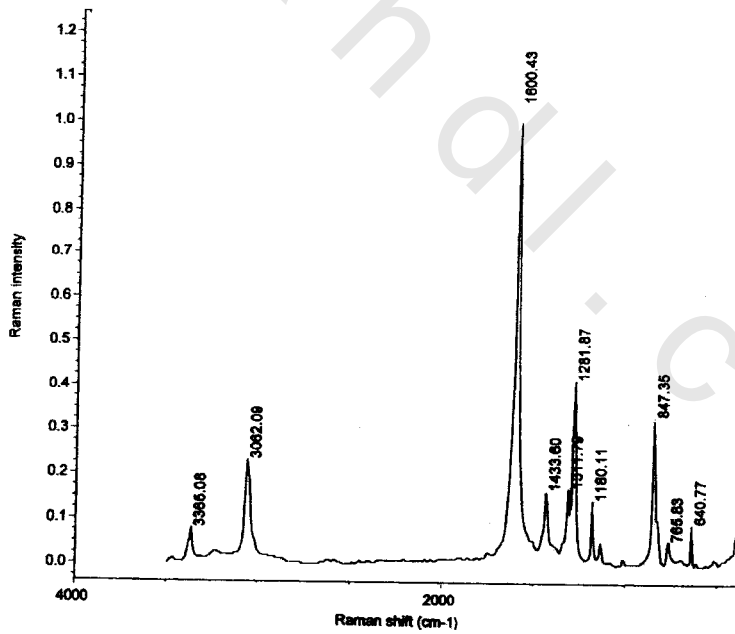
جدول (17): المركبات المحتوية على النيتروجين Nitrogen
Containing Compounds

التردد cm^{-1}	المركب	التصنيف
3400-3320		ذبذبة المد اللاتماثل NH_2 (مترايط)
3360-3330	Primary Amides	
3300-3250	Primary Amines	تردد المد التماثل NH_2 (مترايط)
3310-3290	Secondary Amines	تردد مد NH (مترايط)
3190-3140	Primary Amides	تردد مد تماثل NH_2 (مترايط)
3180-3150	Pyrazoles	تردد مد NH (مترايط)
2990-2970	Alkyl ammonium	تردد مد تماثل NH_3^+
2300-2240	Isocyanates	تردد مد لا تماثل $\text{N}\equiv\text{C}$
2260	Cyanamide	تردد مد $\text{N}\equiv\text{C}$
2250-2230	Aliphatic Nitriles	تردد مد $\text{C}\equiv\text{N}$
2220-2100	Alkyl IsothioCyanates	تردد مد لا تماثل $\text{N}=\text{C}=\text{S}$ (2bands)
2220-2200	Dialkyl Cyanamides	تردد مد $\text{C}\equiv\text{N}$
2161-2134	Aliphatic Isonitriles	تردد مد $\text{C}\equiv\text{N}$
2156-2140	Alkyl Thiocyanates	تردد مد $\text{C}\equiv\text{N}$
2104	CH_3N_3	تردد مد لا تماثل $\text{N}=\text{N}=\text{N}$
2094	HCN	تردد مد $\text{C}\equiv\text{N}$
1673-1666	Aldimine	تردد مد $\text{C}=\text{N}$
1666-1652	Ketoximes	تردد مد $\text{C}=\text{N}$
1665-1650	Semicarbazones	تردد مد $\text{C}=\text{N}$
1663-1636	Aldazines Ketazines	تردد مد $\text{C}=\text{N}$
1660-1649	Aldoximes	تردد مد $\text{C}=\text{N}$
1660-1610	Hydrazones	تردد مد $\text{C}=\text{N}$

1652-1642	Thiosemicarbazor	تردد مد C=N
1650-1590	Primary Amines	تردد انحاء NH ₂
1648-1640	Alkyl Nitrites	تردد مد N=O
1634-1622	Alkyl Nitrates	تردد مد لا تماثلي NO ₂
1573	Azometane	تردد مد N=N
1560-1550	Primary Nitroalkanes	تردد مد لا تماثلي NO ₂
1555-1550	Secondary Nitroalkanes	تردد مد لا تماثلي NO ₂
1548	1-Pyrazoline	تردد مد N=N
1545-1535	Tertiary Nitroalkanes	تردد مد لا تماثلي NO ₂
1450-1400	Isocyanate	تردد مد تماثلي N=C=O
1442	Azobenzene	تردد مد N=N
1395-1380	Primary Nitroalkanes	تردد مد تماثلي NO ₂
1375-1360	Secondary Nitroalkanes	تردد مد تماثلي NO ₂
1355-1345	Tertiary Nitroalkanes	تردد مد تماثلي NO ₂
1282-1272	Alkyl Nitrates	تردد مد تماثلي NO ₂
1276	CH ₃ N ₃	تردد مد تماثلي N=N=N
111	Hydrazine	تردد مد NN
906	Hydroxylamine	تردد مد ON
900-850	Secondary amines	تردد مد تماثلي CNC
851-840	O-Alkyl Hydroxylamine	تردد مد CON
690-650	Alkyl isothiocyanates	تردد مد تماثلي N=C=S



شكل (67): طيف (FTRaman) Benzonitrile



شكل (68): طيف (FTRaman) Aminobenzoic acid

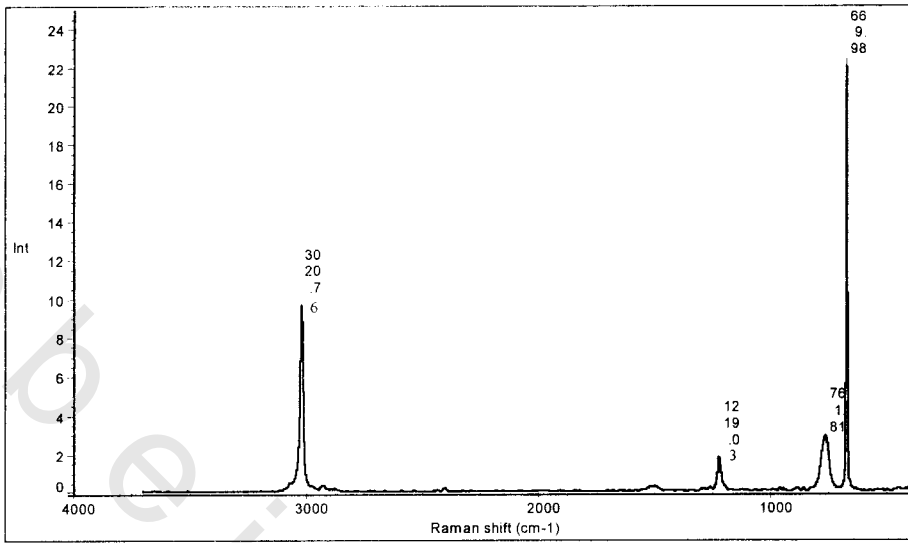
جدول (18): أهم ترددات المد المميزة للمركبات المحتوية على الكبريت
Sulfur Containing Compounds

التردد cm^{-1}	المركب	التصنيف
2590-2566	Thiols	S-H str
1190-1185	Alkyl Sulfites	ν_s (SO ₂)
1172-1188	Alkyl Sulfonates	ν_s SO ₂ str
1145-1125	Dialkyl Sulfones	ν_s SO ₂ str
1070-1040	Aliphatic Sulfoxides	S=O str
1065	Ethylene Sulfoxides	C=S str
740-585	Alkyl Sulfides	C=S str
735-690	Thioamides, Trithiureas (solid)	C=S str
715-620	Dialkyl Disulfides	C=S str
690-650	Alkyl Isothiocyanates	N=C=S str
659	Pentamethylene Sulfide	ν_s CSC str
525-510	Dialkyl Disulfides	SS str
510-480	Dialkyl Trisulfides	SS str

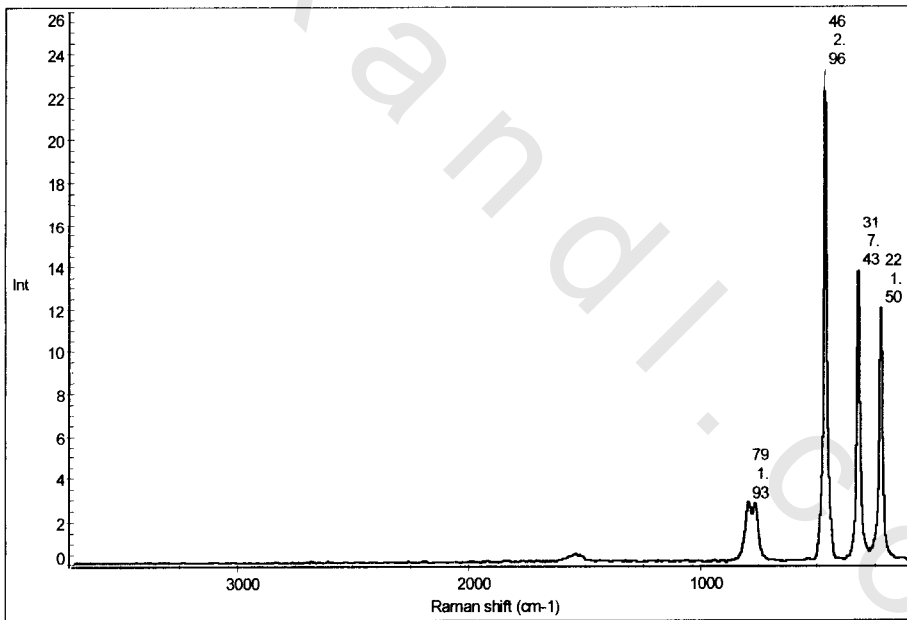
جدول (19): ترددات المد للمركبات المحتوية على الهالوجينات
Compounds Containing Halogen

التردد	المركب	الصف
730-720	Primary Chloroalkanes	CCl str.
709	CH ₃ Cl	C C l str.
703	CH ₂ Cl	ν_s C C l ₂ str.
668	CHCl ₃	ν_s C C l ₃ str.
660-650	Primary Chloroalkanes	CCl str.
655-640	Bromoalkanes	CBr str,

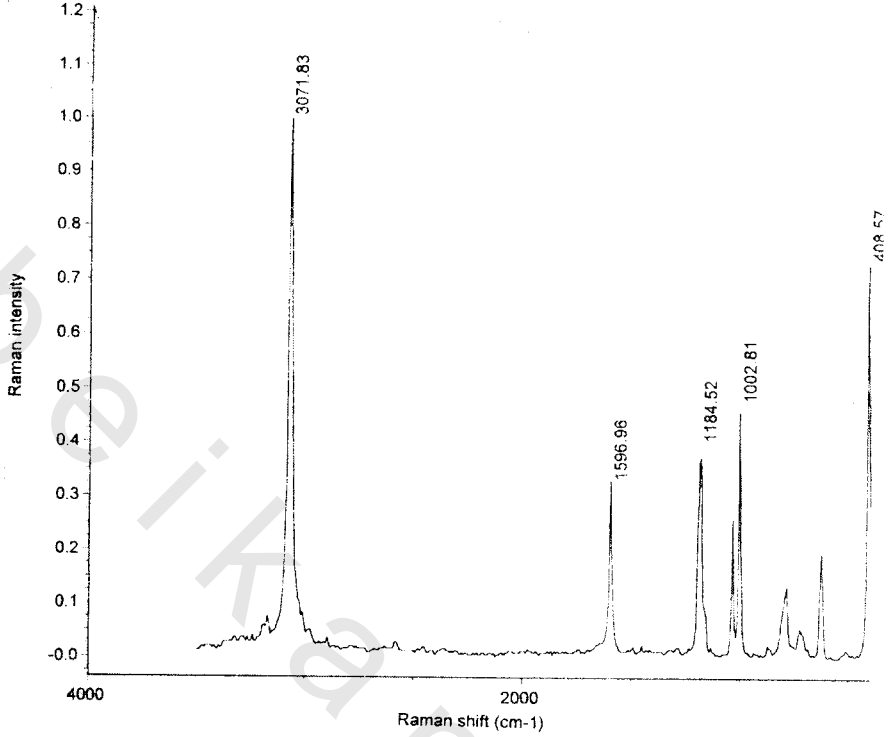
615-605	Secondary Chloroalkanes	CCl str,
610-590	Primary Iodoalkanes	CI str,
609	CH ₃ Br	CBr str
577	CH ₂ Br ₂	v _s C Br ₂ str.
560-570	Tertiary Chloroalkanes	CCL str,
565-560	Primary Bromo alkanes	CBr str,
540-535	Secondary Bromoalkanes	CBr str,
539	CH Br ₃	v _s CBr ₃ str
523	CH ₃ I	CI sr
520-510	Tertiary Bromoalkanes	CBr str,
510-500	Primary Iodoalkanes	CI str,
494-485	Secondary Iodoalkanes	CI str,
495-485	Tertiary Iodoalkanes	CI str,
483	CH ₂ I ₂	v _s Cl ₂ str
459	CCl ₄	v _s Cl ₄ str
437	CHI ₃ (insolution)	v _s Cl ₃ str



شکل(69): طیف (FTRaman) Chloroform.



شکل(70): طیف (FTRaman) Carbontetrachloride.



شكل (71): طيف (FTRaman) (Trichloromethyl)benzene.

3:6 مجالات التطبيق

المركبات البيولوجية Biological Compounds

تستخدم أطياف رامان على نطاق واسع الآن في دراسة الجزيئات البيولوجية والتعرف على تركيبها وحل كثير من المشاكل. وتعتبر البروتينات و الدهون من أهم المركبات البيولوجية. وتعتبر مجموعة CO NH الوحدة البنائية المشتركة في جميع جزيئات

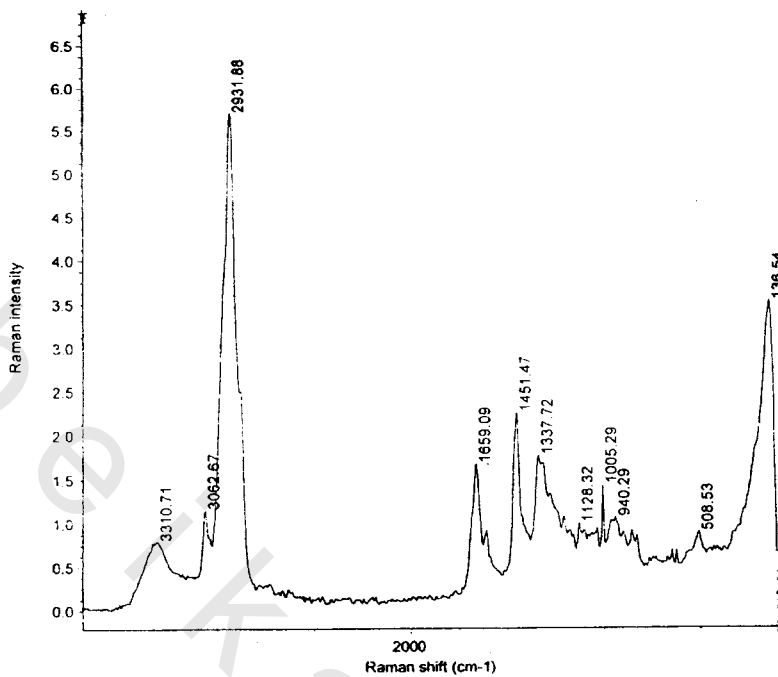
البروتينات. وتظهر في أطيف رامان أشرطة حساسة للتركيب، وتوضح الجداول (20-23) أهم ترددات البروتينات والدهون.

جدول(20): أهم ترددات الأميد.

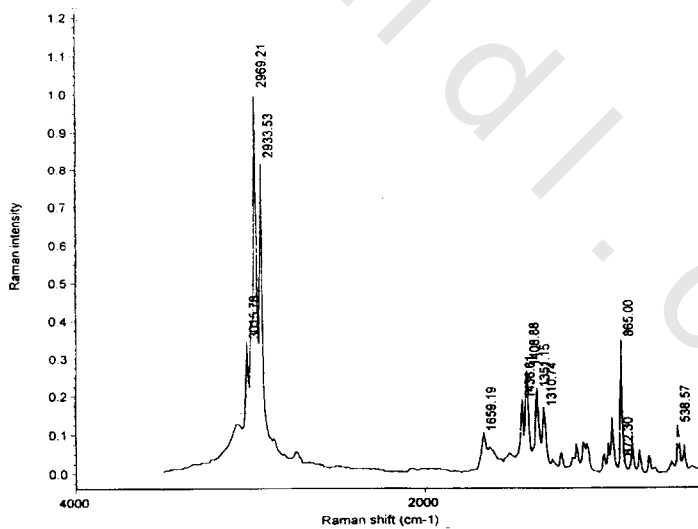
الرمز	التردد	التصنيف
Amide I	1657	80% تردد C=O، 10% تردد C-N، 10% تردد انحناء N-H
Amide II	1298	40% تردد مد C-N 30% تردد انحناء N-H 20% تردد مد CH ₃ -C 10% تردد انحناء O=C-N
Amide IV	628	40% تردد انحناء O=C-N 30% تردد مد CH ₃ -C
Amide VI	600	تردد انحناء C=O خارج المستوى

جدول(21): يوضح أشرطة رامان للأحماض الأمينية Amino acids residues.

Disulfide (S-S) bond	Histidine (His)	Tyrosine (Tyr)	Tryptophan (Trp)	Phenylalanine (Phe)
540-510	1408	Doublet at 850 and 830	1623,1555, 1436, 1016, 882, 762	1203, 1032, 1004, 624



شكل (72): طيف (FT-Raman) بوفين سيرم ألبومين.



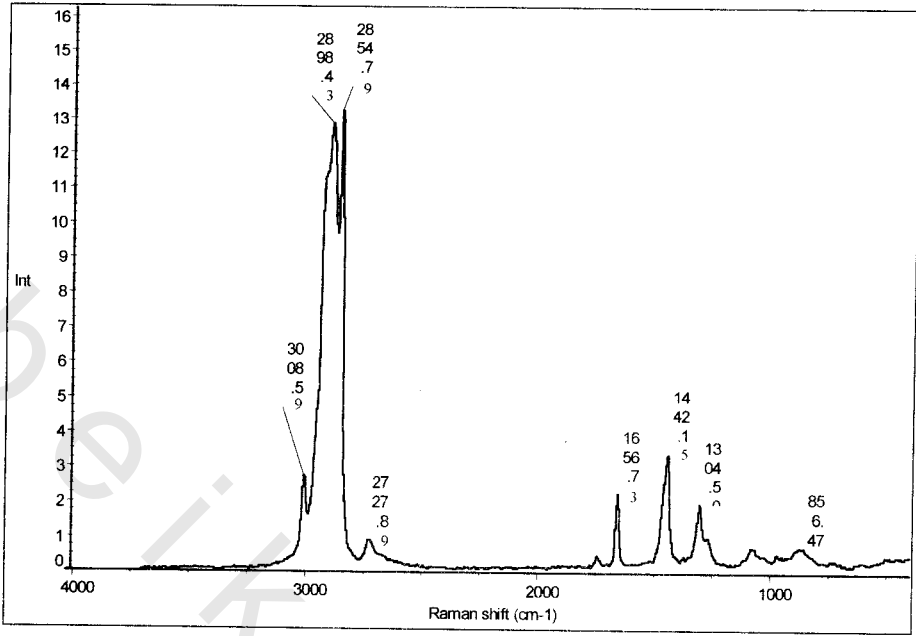
شكل (73): طيف (FT-Raman) حمض الجلوتاميك L(+).

جدول (22): يبين أهم ترددات أشربة الأحماض النووية Nucleic Acids.

Uracil(U)	Cytosine(C)	Guanine(G)	Adenine(A)
1680,1634,	1657,1607,	1582,1487,	1580,1510,
1400, 1235,	1528,1292,	1375,1328,	1484,1379,
785	1240, 782	670	1310, 1255,
			729

جدول (23) يبين أهم ترددات الدهون Fats

التردد cm^{-1}	التصنيف
3014	تردد مد لا تماثلتي $\nu_a(=C-H)$
2926	تردد مد لا تماثلتي $\nu_a(-C-H)$
2855	تردد مد تماثلتي $\nu_s(-C-H)$
1745	تردد مد $\nu(C=O)$
1661	تردد مد $\nu(C=C)$
1444	تردد انحناء $\delta(CH_2)$
1306	تردد انحناء في المستوى $\delta(CH_2)$
1272	تردد انحناء في المستوى $\delta(=C-H)$



شكل(74): طيف (FT-Raman) للزيت النباتي Oil.

مطيافية رامان لها تطبيقات عديدة في مجالات الكيمياء الحيوية والطبية. وتستخدم مطيافية رامان الرنين منذ وقت بعيد في تشخيص التغيرات التركيبية في الهيم Hemes والبولينيات Polyenes. يمكن مراقبة التغيرات البنائية في ألوان صبغات Pigments البوليين في زمن فيمتوثانية Femto Second Time Scale تماما مثل الحالة المستقرة. وتستخدم مطيافية رامان العادية في دراسة التركيب الثانوي للبروتين Secondary Structure of Protein والأحماض النووية Nucleic Acid. ويمكن باستخدام الألياف البصرية الحصول على أطياف رامان للأغشية Membranes وأيضا لنماذج الأغشية وحيدة الطبقة. وقد ساعد استخدام مطيافية رامان تحت الحمراء في التشخيص الطبي، وهذه التطبيقات تعتمد على الفرق في نسبة الدهون إلى البروتين في الأنسجة الطبيعية

والسرطانية. التغيرات فى المكونات تظهر فى منطقة البصمة
Fingerprint ومنطقة ترددات المد C-H. ومطيافية رامان مهمة جدا فى
هذه التطبيقات حيث يمكن إجراء القياسات فى الأنسجة الحية In vivo
باستخدام مجس الألياف البصرية، وأيضا يمكن قياس أطيف عينات
صغيرة جدا باستخدام مجهرية رامان.

ظاهرة تغلور بعض المواد عند استخدام مطياف رامان العادي
تسببت فى عدم إمكانية استخدام هذه المطيافية فى دراسة المواد الغذائية
والمحاصيل الزراعية لفترة طويلة حتى ظهر مطياف رامان بتحويل
فورير الذى يستخدم الأشعة تحت الحمراء القريبة كمصدر للإثارة
واستخدام CCD ككاشف. وبفضل هذا المطياف تم إجراء دراسات عديدة
على الدهون مثل: الزيت و الزبد ومن هذه الزيوت زيوت عباد الشمس
والقطن والزيتون. وقد أثبتت هذه الدراسات أنه يمكن تقدير رقم اليود
Iodine Number لدهون المواد الغذائية باستخدام مطياف رامان
بتحويل فورير. وتستخدم الروابط الزوجية فى الأحماض الدهنية غير
المشبعة فى الدهون لتحديد عدم التشبع.

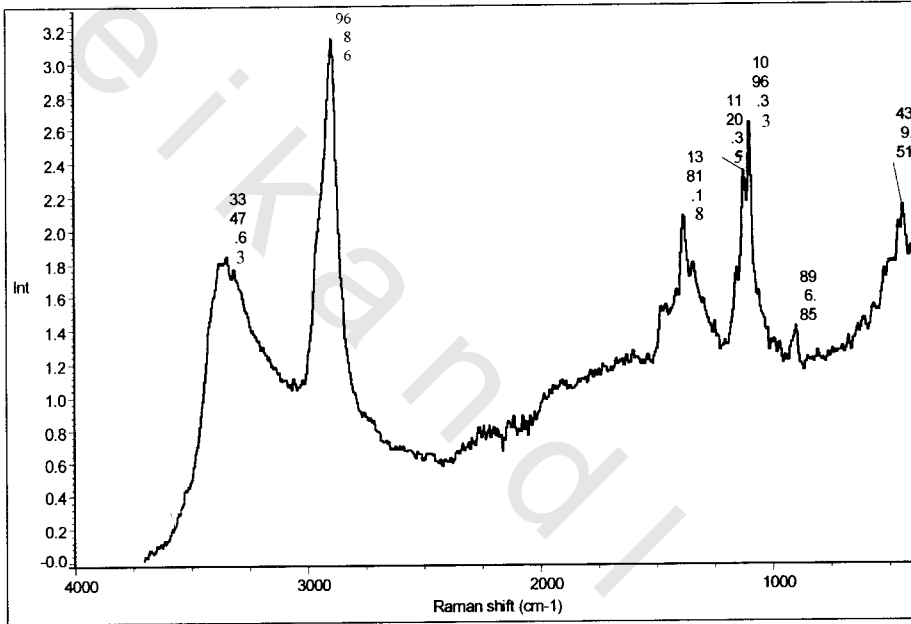
تعتبر مطيافية رامان أداة مهمة وفاعلة فى دراسة العديد من
الأنظمة البيولوجية نظرا لوجود عدد كبير من الأنماط التذبذبية النشطة
لرامان فضلا عن عدم وجود تداخلات طفيفة بسبب وجود الماء. ونأخذ
على سبيل المثال استخدام أطيف رامان فى دراسة الجزر Carrot وكل
من زلال Albumin، وصفار البيض Yolk. يتكون زلال البيض من
الماء (88%) و البروتين (11%) وكميات صغيرة من الدهون والجلوكوز
وأيونات المعادن. وأقوى أشرطة البروتين هو شريط أميد 1 (Amide I)
والذي يظهر بين $1660-1640\text{cm}^{-1}$. وأيضا يتكون الصفار من (47%)
ماء، (33%) دهون و(7%) بروتين ويحتوى أيضا Yellow Orange
Carotinoids. ويمكن إحداث تقوية رنين لخطوط رامان حتى فى حالة

استخدام الإثارة الحمراء. فيمكن تقوية أشربة تردد المد $C=C$ فى المنطقة $1600-1500\text{cm}^{-1}$ ، وأشربة تردد المد $C-C$ فى المنطقة $1200-1100\text{cm}^{-1}$. والكاروتين **Carotenoids** هى عادة المسئولة عن اللون وأيضاً أشربة رامان القوية فى طيف الجزر. وأهم أشربة البروتين والكاروتين فى البيض تقع فى المنطقة من $800-2000\text{cm}^{-1}$. والفرق بين طيف الزلال و الصفار يكمن فى وجود شريطين عند 1161cm^{-1} و 1526cm^{-1} فى طيف الصفار. هذان الخطان الناتجان عن كاروتين البيض لا يوجدان فى طيف الزلال. وشريط أميد I للبروتين يظهر فى كل من الزلال و الصفار لكن مع فرق صغير فى التردد.

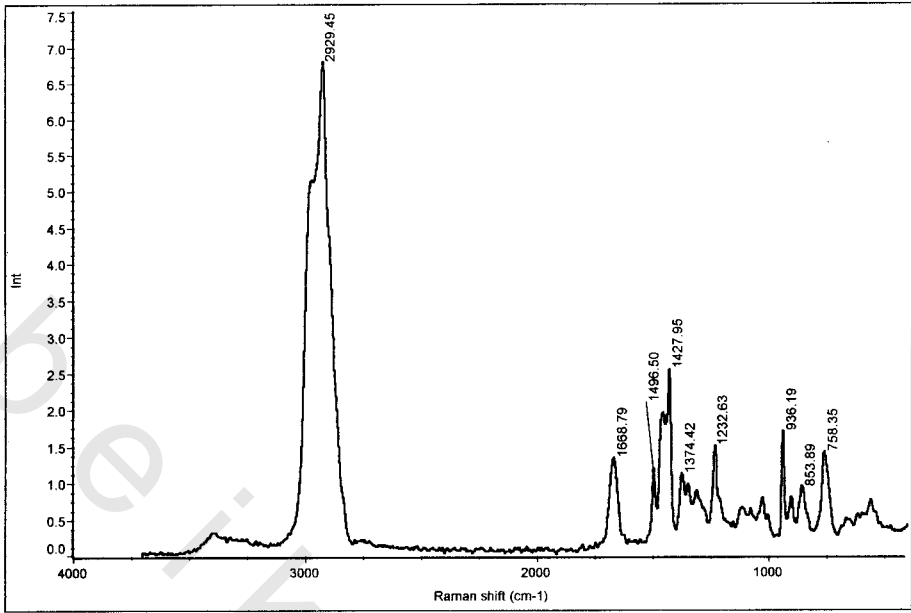
توصيف البلمرات Polymer Characterization

تلعب مطيافية رامان أدواراً متعددة فى توصيف البلمرات وهذه الأداة مفيدة جداً فى قياس عدم التشبع فى البلمرات، ويرجع ذلك لشدة أشربة ترددات ذبذبة المد $C=C$ ، وأيضاً يمكن قياس عدم التشبع المتبقى **Residual Unsaturation (i.e Degree of Cure)** بسهولة. أشربة المد للألكينات **Alkenes** أو شريط المونومر **Monomer** يمكن استخدامه فى قياس **Formation Kinetics** ونظراً لأن الأطياف التذبذبية حساسة للبيئة المحيطة فإن مطيافية رامان تكون أداة هامة جداً فى تشخيص هيئة الألياف **Morphology Diagnostics**. ينشأ عن التبلور مثلاً تغير فى شكل واتساع وشدة الأشربة. فمثلاً تظهر لمنطقة التبلور فى طيف أقلام البولي إيثيلين تريفثاليت **Poly (Ethylene Terephthalate)** شريط لمجموعة الكربونيل أضيق من ذلك الذى يظهر فى المنطقة الأمورفية **Amorphous**، ولكن شدة أشربة الجليكول **Glycol** تتغير أيضاً. وبالمثل يمكن استخدام التغيرات فى أشربة رامان لإجراء قياسات على الانفعالات

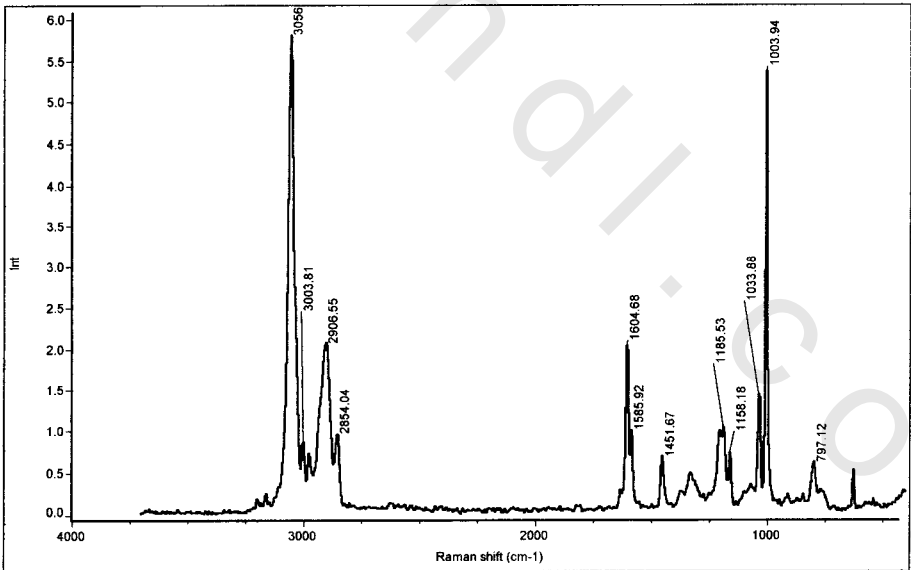
في الألياف. هذا علاوة على أنه يمكن دراسة العديد من خصائص
البلمرات مثل: التوجيهية Orientation، وتحليل طبقات البلمر باستخدام
المجهر متحد البؤرة، والتأكسد والتحليل ونواتج التفاعلات والمعالجات
المختلفة.



شكل(75): طيف (FTRaman) للسليولوز Cellulose.



شكل (76): طيف (FTRaman) Poly(vinyl Pyrrolidone).



شكل (77): طيف (FTRaman) Poly styrene.

توصيف المواد غير العضوية Inorganic Materials Characterization

تستخدم مطيافية رامان على نطاق واسع في دراسة خصائص وخواص المواد غير العضوية. وتتغير أبعاد الشبكة البلورية عندما يضاف إليها طعم Dopant وعندما تتعرض المواد إلي إجهاد ميكانيكي أو حرارة. وتسبب هذه التغيرات إزاحة في بعض الأشرطة (يمكن حدوث إزاحة من $0.1-10\text{cm}^{-1}$)، ويمكن أيضا حدوث تغير في عرض الأشرطة. ومراقبة وتسجيل هذه التغيرات يساعد على معرفة حالة المادة. وتعتمد مطيافية رامان على الاستقطاب لذلك تستخدم هذه الخاصية في قياس توجيه البلورة Crystal Orientation ونوجز فيمايلي بعض تطبيقات مطيافية رامان في هذا المجال.

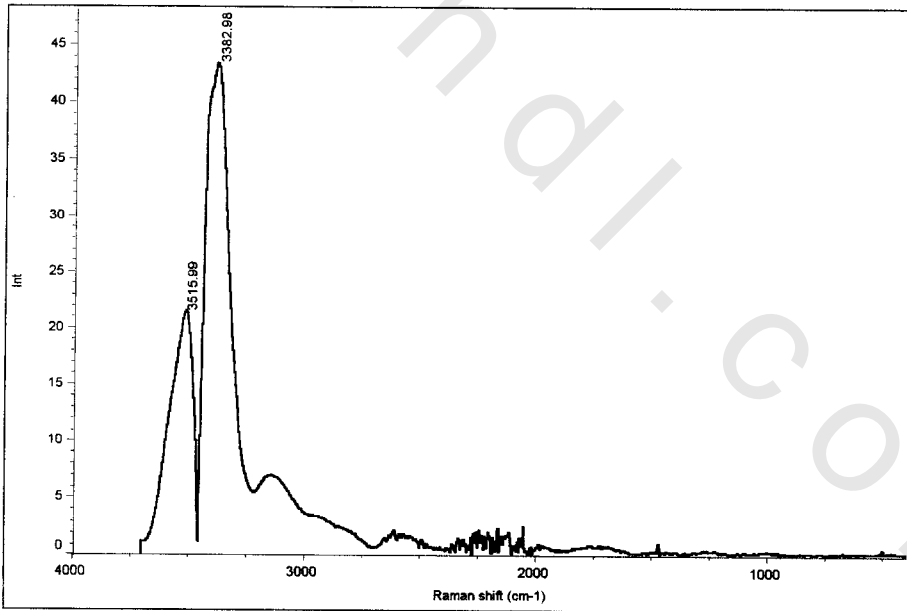
الألماس

تعتبر مطيافية رامان أداة مهمة جدا في دراسة وتوصيف الألماس و الصور الأخرى للكربون. الألماس عنده ذبذبة شبكية واحدة ثلاثية الانحلال من الرتبة الأولى A single Triply Degenerated First Order Phenomena وهي من نوع رامان نشطة وليست من نوع تحت الحمراء نشطة. وتظهر كشرط قوى ضيق عند 1332cm^{-1} .

يظهر شرط للجرافيت متعدد التبلور عند 1580cm^{-1} ، وفي حالة Pyrolytic Graphite عالي الترتيب يظهر الشرط عند 1576cm^{-1} ويكون الشرط ضيقا في الحالتين. الكربون غير المتبلور SP_2 (الجرافيتي) مثل الكربون الزجاجي Glassy Carbon يظهر زوجا من الأشرطة عند حوالي 1345cm^{-1} - 1585cm^{-1} . ومرة أخرى يتغير موضع الشرط حسب نوع الكربون، ونظرا لأن هذه المواد غير مرتبة فإن الأشرطة تكون أعرض من أشرطة الجرافيت أو الألماس.

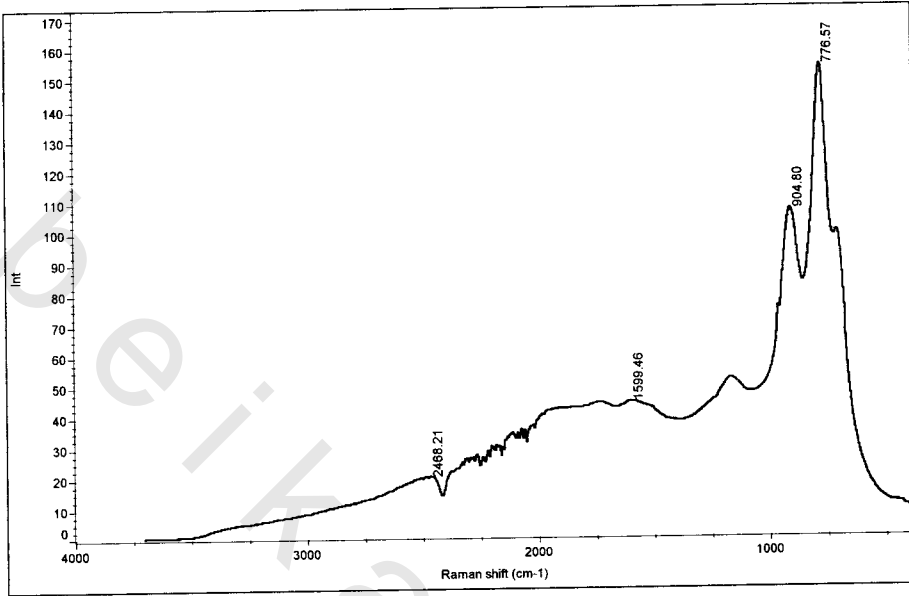
ويظهر فى طيف رامان للألماس الطبيعي شريط حاد عند 1332cm^{-1} تقريبا وشريط ضعيف عند حوالي 2750cm^{-1} . ويظهر فى طيف رامان للبلورة النقية من الجرافيت شريط واحد حاد عند 1580cm^{-1} . ويظهر فى طيف الكربون البلوري كتف عريض فى المنطقة من $1600-1000\text{cm}^{-1}$. ويظهر للكربون 60 (C60) وهو صورة أخرى من صور الكربون المتبلور أشرطة واضحة فى طيف رامان عند الترددات $3383,3516\text{cm}^{-1}$ شكل (76).

وشريط ذبذبة الشبكة للسيليكون عند 522cm^{-1} مفيد جدا فى تمييز هذه المادة عندما تستخدم المطيافية المجهرية بسبب صغر أبعاد أجهزة أشباه الموصلات. ويكون الشريط ضعيفا فى حالة بلورة السيليكون المنفردة. وعدم تماثل الشريط يدل على السيليكون ذي البلورة الميكرونية Microcrystalline Silicon. ويمكن تعيين توجيه البلورة من خواص الاستقطاب.

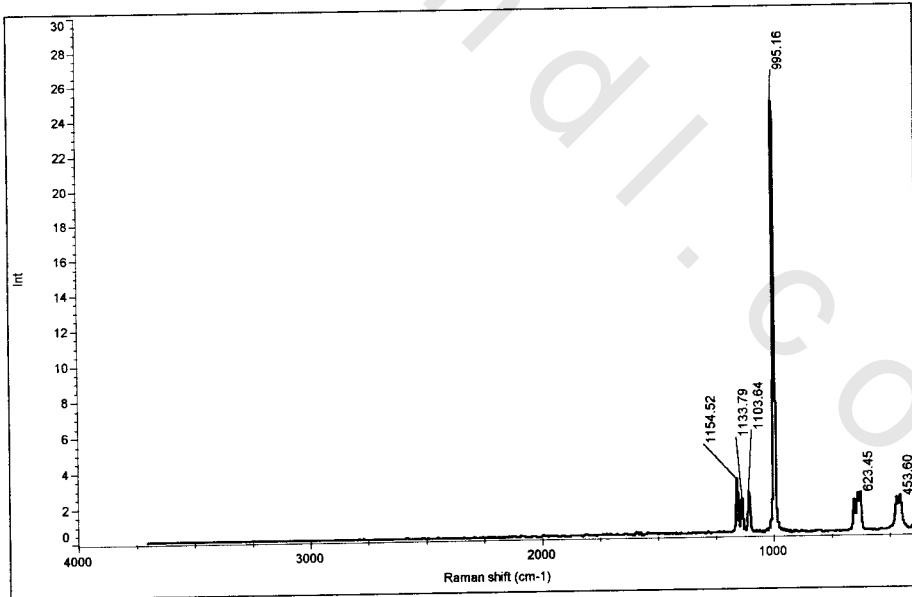


شكل (78): طيف (FTRaman) (C60)

تظهر خطوط واضحة في أطياف رامان للأيونات SO_4 ، PO_4 أشكال (76-77)



شكل (79): طيف (FTRaman) Hydroxy apatite



شكل (80): طيف (FTRaman) $Na SO_4$

التطبيقات الصناعية

إن دخول تقنيات حديثة في قياسات أطيف رامان أدى إلى تطور كبير في التطبيقات الصناعية لأطيف رامان وهذه التقنيات هي:

- أطيف رامان بتحويل فورير .
 - الألياف البصرية .
 - الكواشف الحديثة .
 - مجهرية رامان .
- وفيما يلي بعض الأمثلة على هذه التطبيقات .

التطبيقات البيئية

يوجد العديد من الأمثلة على تحليلات البيئة باستخدام مطيافية رامان. تحليل المياه الأرضية *Analysis of Ground Water*، يمكن الكشف عن المواد الضارة التي توجد في المياه بكميات شحيحة مثل: الأيونات المعدنية في المواقع وفي زمن قياسي. ويتم ذلك باستخدام طرق SERS مع الألياف البصرية. هذه التقنية تراقب العينات وتسجل الأيونات في المحاليل المائية ونقيس التغير في أطيف رامان باستخدام مواد تعمل على تكوين معقدات مع الأيونات المعدنية (Indicators). وجود أيونات النترات بكميات شحيحة في الماء تدل على مدى تلوث هذا الماء. لقد تطورت طرق SERS لتحديد أيونات النترات بتركيزات منخفضة في المحاليل المائية لدرجة حساسية عالية.

صناعات البويات، والأصباغ والبتترول

Plants, Dyes and Petroleum Industries

يستخدم مطياف Raman فى دراسة العمليات المختلفة التي تتم فى صناعة البويات مثل تفاعل مستحلب البلمرة حيث إن نظام هذا المطياف يراقب العمليات.

من المعروف أن معظم الأصباغ تتفلور عند تعرضها لأشعة الليزر فى المنطقة المرئية، لذلك لم ينجح مطياف رمان فى دراسة تحليل و توصيف الأصباغ حتى ظهر مطياف رمان بتحويل فورير الذي يستخدم Nd.YAG لمصدر الإثارة ويستخدم كاشف In Ga As.

تستخدم تقنية مطيافية رمان فى الدراسات الكهروكيميائية للسطوح و الأغشية المكونة على السطوح ويعطى معلومات قيمة عن السطوح البينية للصلب والمحلول Solid-Solution فى الموضوع.

حاول علماء البترول منذ اكتشاف تأثير رمان استخدام هذه التقنية فى دراسة مكونات منتجات البترول. وقد تأخرت المحاولات بعض الوقت بسبب صعوبات التفلور حتى ظهر مطياف رمان بتحويل فورير FT-Raman تجددت المحاولات وبدأت دراسة مخاليط الجازولين باستخدام مطياف FT-Raman.

المراجع

1. Banwell C. N., Fundamentals of Molecular Spectroscopy, 3rd Edition(1960).
2. Brown C.W., Donahue S.M. and LO S.C., Advances in Near-Infrared Measurements, Gabor Patonay, London, Vol.1(1993).
3. Bist H. D., James R. Durig and Sullivan J.F., Raman Spectroscopy Sixty Years On., Elsevier, New York(1989).
4. Daimay Lin-vein, Norman B., William G. and Jeanette G., The Hand book of Infrared and Raman Characteristic Frequencies of Organic Molecules., Academic Press Limited, London(1991).
5. Gardiner D.J. and Graves R., Practical Raman Spectroscopy, Springer-Verlag, Germany(1989).
6. Joh R.F& Kazuo N., Introductory Raman Spectroscopy, Academic Press, Inc, New York(1994).
7. Long D.A., Raman Spectroscopy, McGraw-Hill, New York(1977).
8. Patrick H., Catherine J. and Gavin W., Conventional Laser-Raman Spectroscopy, Ellis Horwood Limited, England(1991).
9. Richard L.Mc., Raman Spectroscopy for Chemical Analysis, J.D.Winefordner, New York, Vol.157(2000).
10. Siesler H.W. and Holland-Moritz K., Infrared and Raman Spectroscopy of Polymers, Marcel Dekker, Inc., New York, Vol.4(1980).
11. أساسيات وتطبيقات أطياف الأشعة تحت الحمراء تأليف أ.د. محمد عبد القادر محرم. الناشر دار النشر للجامعات(1999)

obeikandi.com

الثوابت الأساسية		
Constants		
$C = 3 \times 10^8 \text{ m/s}$	سرعة الضوء	Velocity of light
$\mu = 1.256 \times 10^{-6} \text{ Hm}^{-1}$	نفاذية الفراغ	Permeability of space
$E = 8.85 \times 10^{-12} \text{ Fm}^{-1}$	سماحية الفراغ	Permittivity of space
$G = 6.67 \times 10^{-11} \text{ Nm}^2/\text{Kg}$	ثابت الجاذبية	Gravitational constant
$K = 1.38 \times 10^{-23} \text{ J/K}$	ثابت بولتزمان	Boltzman constant
$-e = -1.602 \times 10^{-19} \text{ C}$	شحنة الإلكترون	Electron charge
$m_e = 9.11 \times 10^{-31} \text{ Kg}$	كتلة الإلكترون	Electron mass
$m_p = 1.675 \times 10^{-27} \text{ Kg}$	كتلة البروتون	Proton mass
$R_H = 1.1 \times 10^7 / \text{m}$	ثابت رايدبرج	Rydberg constant
$h = 6.626 \times 10^{-34} \text{ Js}$	ثابت بلانك	Planks constant
$N = 6.02 \times 10^{23} \text{ mol}^{-1}$	عدد أفوجادرو	Avogadro's number
$R = 8.314 \text{ JK}^{-1} \text{ mol}^{-1}$	ثابت الغاز للجرام الجزيء	Gas constant
$\text{a.m.u.} = 1.66 \times 10^{-27} \text{ KJ}$	وحدة الكتلة الذرية	Atomic mass unit

كسور ومضاعفات الوحدات		
الكسر	المعامل	الرمز
10^{-1}	Deci	d
10^{-2}	Centi	C
10^{-3}	mili	m
10^{-6}	micro	u
10^{-9}	nano	n

10^{-12}	pico	p
10^{-15}	femto	f
10^{-18}	atto	a

المعاملات	البادئة	الرمز
10	deka	da
10^2	hecto	h
10^3	kilo	k
10^6	mega	M
10^9	giga	G
10^{12}	tetra	T
10^{15}	peta	P
10^{18}	exa	E

Dictionary

-A-

Absolute	مطلق
Absorb	يمتص
Absorbance	امتصاصية
Absorption	امتصاص
Absorption band	شريط الامتصاص
Absorption spectrum	طيف الامتصاص
Absorptivity	معامل الامتصاص
Acid	حامض
Adsorption	امتزاز
Albumin	زلال البيض
Alifatic	أليفاتية
Alkane	الكينات
Alkene	الكانات
Alkyl	أكايل
Alternating	متناوب
Alternator	مناوبة
Amorphous	غير متبلور
Amplifier	المضخم
Amplitude	السعة
Amplitude of vibration	سعة الذبذبة
Analyser	محلل
Analysis	تحليل
Anharmonic oscillator	متذبذب لا توافقي
Anharmonicity	اللاتوافق
Apparent	ظاهري

Aromatic	عطري
Asymmetry	لاتماثل
Atom	ذرة
Atomic number	العدد الذرى
Attenuated total reflection	الانعكاس الكلى الموهن
Attenuation	توهين
Attenuator	موهن
automatic controller	منظم أوتوماتيكي
Avogadro's number	عدد أفوجادرو
-B -	
Band	شريط
Band spectrum	الطيف الشريطي
Barrier	حاجز
Base	قاعدة
Bending	انحناء
Beam of light	حزمة ضوئية
Bond	رابطة
Broad	عريض
Bound electron	إلكترون مقيد
-C-	
Carrot	الجزر
Cation	أيونات موجبة
Cell	خلية
Chain	سلسلة
Characteristics	خصائص
Charge	شحنة
Charge carrier	حاملة الشحنات
Coefficient	معامل

Coherent	مترايط
Cohesion	تماسك
Cladding	قشرة
Collimator	مجمع
Comparison spectrum	طيف المقارنة
Compressible	قابل للانضغاط
Concept	مفهوم
Conduction	توصيل
Confocal	متحد البؤرة
Covalent bond	رابطة تساهمية
Core	قلب (لب)
Crystalline material	مادة متبلورة
-D-	
Data	بيانات
Decay	انحلال
Deconvolution	فك المطويات
Definition	تعريف
Deformation	التواء
Dielectric constant	ثابت العزل
Density	كثافة
Depolarization	منع الاستقطاب
Derivative	مشتق
Destruction	هدام
Detection	كشف
Detector	كاشف
Deviation	انحراف
Dielectric	عازل
Diffraction	حيود

Diffuse	انتشار
Dilution	تخفيف
Dimension	أبعاد
Dipole	ثنائي القطب
Dipole moment	عزم ذى القطبين
Disc	قرص
Discharge Tube	أنابيب تفريغ
Displacement	إزاحة
Dissociation	تفكك
Dissolve	يذيب
Distortion	تشويه
Distribution	توزيع
Donor	مانح
Doublet	ثنائية
-E-	
Electro magnetic spectrum	طيف كهرومغناطيس
Electromagnetic waves	موجات كهرومغناطيسية
Electron	إلكترون
Electron shell	قشرة إلكترونية
Electron spin	لف الإلكترون
Electron transition	انتقال إلكتروني
Electronic band spectra	أطياف الشرائط الإلكترونية
Electrostatic induction	تأثير كهروستاتيكي
Elongation	استطالة
Ellipsoid	إهليجي (بيضاوي)
Exclusion	الإستثناء
Emission	انبعاث
Emulsion	مستحلب

Energy	طاقة
Energy levels	مستويات الطاقة
Enhance	يقوى
Enhancement	تقوية
Enlarged	مكبر
Evaporation	تبخير
Excited	مستثار
Experiment	تجربة
-F-	
Factor	عامل
Falling	ساقط
Field of plane mirror	مجال مرآة مستوية
Film	غشاء
Filter	مرشح
Fine	دقيق
Fixed axis of rotation	محور ثابت للدوران
Force	قوة
Force constant	ثابت القوة
Free vibration	ذبذبات حرة
Frequency	تردد
Fundamental	أساسي
-G-	
Gas	غاز
Grain	حبة
Grating	محزوز
-H-	
Half	نصف
Half band with	قيمة نصف عرض الشريط

Heavy hydrogen	هيدروجين ثقيل
Homogeneous	متجانس
Humidity	رطوبة
Hyper fine spectrum	طيف فائق الدقة
- I -	
Impurity	شائبة
Incidence	سقوط
Incident light	ضوء ساقط
Index of refraction	معامل الانكسار
Indicator	دليل
Inert gas	غاز خامل
Infra-red	تحت الحمراء
Intensity	شدة
Interaction	تفاعل
Interference	تداخل
Invisible	غير مرئي
- J -	
Junction	وصلة
Joule	جول
- K -	
Kilocalorie	كيلو سعر
Kysler	مقلوب السنتمتر
Kilogram	كيلوجرام
- L -	
Lambert	وحدة اللمعان
Lamp	مصباح
Lattice	شبيكة
Length	طول

Linkage	ارتباط
Line spectrum	طيف خطى
Level	مستوى
Laser beam	شعاع ليزري
- M -	
Machine	آلة
Magnification	تكبير - تضخيم
Magnitude	مقدار
Mass	كتلة
Matter	مادة
Mechanism	ميكانيكية
Medium	وسط
Membrane	غشاء
Method	طريقة
Microscope	مجهر
Microscopic	مجهرى
Microwave	موجات دقيقة
Migration of ions	هجرة الأيونات
Millimicron	ملي ميكرون
Minerology	علم المعادن
Mirror	مرآة
Miscibility	امتزاجية
Mixture	مخلوط
Mobility	تحريكه
Moderator	ملطف
Modification	تعديل
Modulus	معامل
Molecule	جزيء

Monochromatic	وحيد اللون
Monovalent	أحادى التكافؤ
Motion	حركة
Metallic bond	رابطة فلزية
Magnification	تكبير
Monochromatic light	ضوء أحادى اللون
Mutual	يتبادل
- N -	
Nuclear energy	طاقة نووية
Nuclear reaction	تفاعل نووى
Near	قريب
Negative	سالبة
Neutral	متعادل
Neutral molecule	جزيء متعادل
Non-polar	لاقطبى
Normal spectrum	طيف عادى
Nuclear	نووى
Nuclear energy	طاقة نووية
Nuclei	نوى
Nucleus	نواة
- O -	
Object	شئ
Ohm	أوم
Opacity	عتامة
Opaque	معتم
Open circuit	دائرة مفتوحة
Orbit	مدار
Orbital	مدارى

Orbital electron	إلكترون مدارى
Original	أصلى
Oscillation	ذبذبة
Oscillator	متذبذب
Out of plane	خارج المستوى
Output	ناتج
Overlapping	تراكب
Overtone	توافقيات
Optical path	مسار الضوء
Order	ترتيب
- P -	
Pole	قطب
Potential	جهد
Pressure	ضغط
Pulse	نبضة
Phase	طور
Phase change	تحول طوري
Partial	جزئي
Plane of vibration	مستوى الاهتزاز
Parallel ray	شعاع متوازي
Perfect	مثالي
Particle	جسيم
Period	دورة
Permeability	نفاذية
Phenomenon	ظاهرة
Piston	مكبس
Plane mirror	مرآة مستوية
Plank constant	ثابت بلانك

Plutonium	بلوتونيوم
Point source	مصدر نقطى
Polar	قطبى
Polar molecule	جزيء قطبى
Polarization	استقطاب
Polarizability	استقطابية
Polar solvent	مذيب قطبى
Pole strength	قوة القطب
Polished	مصقول
Population	تعداد
Positive pole	قطب موجب
Potential diagram	حاجز الجهد
Primary	أولى
Prism	منشور
Probable error	خطأ محتمل
Probe	مجس
Propagation of light	انتشار الضوء
Puls	نبضة
Pump	مضخة
Pure spectrum	طيف نقى
- Q -	
Qualitative	وصفى
Quantitative	كمى
Quantization	تكمية
Quantized	مكماة
Quantum number	أعداد كمية
Quanta	كمات

- R -

Reduced mass	الكتلة المختزلة
Recorder	مسجل
Refractive index	معامل انكسار
Region	منطقة
Resonance	رنين
Resolution	تحليل
Restoring force	القوة المرجعة
Rigid	متماسك
Rocking vibration	ذبذبة التمايل
Rotator	دوار
Rotation	دوران
Radiation	إشعاع
Random	عشوائي
Rare earth element	عناصر الأرض
Restoring force	القوة المرجعة
Resolving force	قوة التحليل
Resolution	تحليل
- S -	
Stimulate	يحفز
Spontaneous	تلقائي
Sensor	محس
-T-	
Tensor	ممتد (كمية متجدهه)
-V-	
Virtual	افتراضي
-Y-	
Yolk	صفار البيض